



南開大學
Nankai University

计算机学院
并行程序设计第五次报告

NTT 为例的 MPI 编程

姓名：宋卓伦

学号：2311095

专业：计算机科学与技术

2025 年 6 月 29 日，南开大学计算机学院，天津

目录

1 实验目的及实验介绍	2
1.1 实验目的	2
1.2 实验硬件和环境	2
2 实验设计：MPI 的设计	2
2.1 MPI 编程简介	2
2.2 朴素 NTT 的 MPI 程序设计	3
2.3 算法简介	6
3 实验设计：与多线程以及 SIMD 的结合	6
3.1 与 OpenMP 的结合	7
3.2 与 Pthread 的结合	7
3.3 与 SIMD 的结合	7
4 实验设计：MPI 并行化不同算法策略	8
4.1 巴雷特规约优化	8
4.2 常规的四分优化	9
5 实验设计：MPI 不同的编程方法	10
5.1 阻塞通信 VS 非阻塞通信	10
5.2 单边通信 VS 多边通信	11
5.3 MPI 自身的多线程支持	12
6 程序性能分析	12
6.1 不同并行化方式的对比	13
6.2 对线程数的讨论	14
6.3 不同规约优化方法下的对比	14
6.4 对 OpenMP 的讨论	15
7 Profiling	16
7.1 数据的总览	16
7.2 进一步的解释	17
7.3 数据分析	18
8 实验总结	19
A 实验的表格	19

1 实验目的及实验介绍

1.1 实验目的

通过课上的学习，我对 MPI 上的编程有了一定的了解和体会，在这里我将 MPI 编程尝试用在我们之前的 NTT 选题上，观察 MPI 并行化操作对我们的实验有什么影响，同时开始尝试不同并行化操作的结合与初步创新，为最后的 NTT 并行化算法总结进行一个铺垫。

1.2 实验硬件和环境

本次实验选用远程 WSL 连接 Ubuntu24.04 进行本地编程 (表1, 同时采用助教学长们搭建的 Open-Euler 服务器结合 MPI 专用编译器进行代码设计和主要的性能查看。

属性	相关内容
内核版本	5.15.167.4-microsoft-standard-WSL2
硬件架构	x86_64 (64 位处理器) 但是安装了模拟的 qemu-aarch64 架构 能够实现 user-static 模式

表 1: 硬件与环境信息

2 实验设计：MPI 的设计

2.1 MPI 编程简介

MPI (Message Passing Interface), 即**消息传递接口**，是一种用于编写**并行计算程序**的标准库规范。它不是一种编程语言，而是一套函数库 (API)，允许程序员在分布式内存系统上协调多个独立进程的计算。在分布式内存系统中，每个处理器 (或计算节点) 都有自己的本地内存，并且不能直接访问其他处理器的内存。为了在这些处理器之间共享数据或协调工作，它们必须通过网络发送和接收消息。

MPI 的优势

- **扩展性**：支持数千至数万处理器，适合大规模并行应用。
- **高性能**：消息传递明确，底层优化确保高效通信。
- **灵活性**：提供点对点和集合通信，支持复杂并行算法。
- **可移植性**：开放规范 (如 Open MPI, MPICH)，代码跨平台可移植。

主要特性和概念

- **进程 (Rank)**：每个进程有唯一秩 (0 到 size-1)。
- **通信器**：定义进程组，如 MPI_COMM_WORLD。

- **点对点通信**：MPI_Send() 和 MPI_Recv() 用于双进程数据传输。
- **集合通信**：
 - MPI_Bcast()：广播数据。
 - MPI_Reduce() / MPI_Allreduce()：数据聚合。
 - MPI_Gather() / MPI_Scatter()：数据收集/分散。
 - MPI_Alltoall()：全对全通信。
- **初始化和终止**：MPI_Init() 和 MPI_Finalize()。
- **环境变量**：通过 mpirun -np N 启动程序。

基本流程

1. 包含头文件：#include <mpi.h>
2. 初始化：MPI_Init(&argc, &argv);
3. 获取进程信息：
 - 秩：MPI_Comm_rank(MPI_COMM_WORLD, &rank);
 - 进程数：MPI_Comm_size(MPI_COMM_WORLD, &size);
4. 并行逻辑：基于 rank 和 size 分配任务，包括数据划分、计算、通信和结果收集。
5. 终止：MPI_Finalize();

MPI 的核心理念是**消息传递**。这意味着并行程序中的每个独立执行单元（通常称为一个“进程”或“任务”）都通过明确地发送和接收消息来与其他进程通信。每个进程都在自己的内存空间中操作，并且只通过这种消息传递机制来与其他进程的数据进行交互。

以上就是我们对于 MPI 编程一个详细的介绍。有了这些详细的了解，我们在后面的编程实现中才会更加有优势。

2.2 朴素 NTT 的 MPI 程序设计

我们结合之前朴素的 NTT 算法，插入 MPI 化的策略，进行实验。这里核心的要点在于在程序合适的地方添加 MPI 进程和线程的控制。

前面导入 mpi.h 头文件无需多言，是基本的操作，接下来我们直接描述程序具体过程：

进程信息 首先是获取进程信息：

```
1 int rank, size;
2 MPI_Comm_rank(comm, &rank);
3 // 获取当前进程在通信器 comm 中的唯一标识（秩，rank），从 0 到 size-1。
4 MPI_Comm_size(comm, &size);
5 // 获取通信器 comm 中总的进程数。
```

MPI 程序运行时，每个进程是独立的执行单元，运行相同的程序代码。通过 rank，进程可以区分自己的角色（例如，主进程通常是 rank == 0）。size 告诉每个进程参与计算的总进程数，用于任务分配。在本程序中，comm 是通信器（通常为 MPI_COMM_WORLD），定义了参与通信的进程组。

具体来说原因如下：程序需要 rank 来确定每个进程负责的任务（例如，计算点值乘法的子集），同时还需要 size 来计算每个进程的任务分配范围（例如，将点值乘法任务分成 size 份）。这些信息是并行程序的基础，用于协调进程行为和分配工作。

数据广播 在数据广播方面：

```
1 // ntt_mpi函数里面的数据广播
2 MPI_Bcast(a.data(), a.size(), MPI_INT, 0, comm);
3 // poly_multiply函数里面的数据广播
4 MPI_Bcast(A.data(), lim, MPI_INT, 0, comm);
5 MPI_Bcast(B.data(), lim, MPI_INT, 0, comm);
```

在上面的代码里面，MPI_Bcast 将数据从一个进程（根进程，这里是 rank == 0）广播到通信器 comm 中的所有其他进程。在 ntt_mpi 中，输入数组 a 被广播，确保每个进程都有相同的输入数据。在 poly_multiply 中，两个输入多项式 A 和 B 被广播，确保所有进程都有完整的多项式数据。

MPI_Bcast(buffer, count, datatype, root, comm) 将 buffer 中的 count 个 datatype 类型的数据从 root 进程广播到 comm 中的所有进程。这里 datatype 是 MPI_INT，表示数据是整数；root 是 0，表示主进程负责提供数据。**广播是一种集合通信操作，所有进程都会同步，确保每个进程在继续执行之前都收到相同的数据。**从而保证了：

- 数据一致性：NTT 需要对整个输入数组进行变换，每个进程必须有完整的输入数据（A 和 B）才能执行 NTT；
- 简化并行逻辑：在 ntt_mpi 中，每个进程独立执行完整的 NTT 变换，因此需要广播数据以确保所有进程操作相同的数据；
- 初始数据分发：主进程（rank == 0）通常负责初始化输入数据（A 和 B），通过广播分发给其他进程，避免每个进程单独读取或初始化数据。

并行点值 在 poly_multiply 函数中，点值乘法被并行化：

```
1 int chunk = (lim + size - 1) / size; // 上取整
2 int start = rank * chunk;
3 int end = std::min(start + chunk, lim);
4 std::vector<int> local_C(chunk, 0);
5 for (int i = start; i < end; ++i) {
6     local_C[i - start] = (int)((1LL * A[i] * B[i]) % p);
7 }
```

上面的并行点值乘法将点值乘法任务分成 size 份，每个进程计算一部分点值乘法 ($A[i] * B[i] \% p$)。chunk 是每个进程需要处理的数据块大小（通过上取整计算）。start 和 end 定义了当前进程（rank）负责的数组索引范围。每个进程将结果存储在本地数组 local_C 中。

点值乘法是多项式乘法中最容易并行化的部分，因为每个点值乘法 ($A[i] * B[i]$) 是独立的，互不依赖。通过将数组索引范围 [0, lim) 分成 size 份，每个进程只处理自己的子任务，减少计算时间。任

务分配基于 rank，确保每个进程的工作范围不重叠。

实现上述操作我们可以实现：

- 并行加速：点值乘法是计算密集型操作，平均分配到多个进程可以显著减少总计算时间。
- 负载均衡：通过 chunk 和 start/end 的计算，确保每个进程的工作量大致相等（除了最后一个进程可能处理较少的元素）。
- 局部存储：每个进程使用 local_C 存储自己的计算结果，减少内存需求并避免进程间直接内存访问。

结果收集 在 poly_multiply 函数中我们采取如下的操作：

```
1 std::vector<int> recv_counts(size);
2 std::vector<int> displs(size);
3 for (int i = 0; i < size; ++i) {
4     int i_start = i * chunk;
5     int i_end = std::min(i_start + chunk, lim);
6     recv_counts[i] = i_end - i_start;
7     displs[i] = i_start;
8 }
9 MPI_Allgatherv(local_C.data(), end - start, MPI_INT, C.data(), recv_counts.data(),
    displs.data(), MPI_INT, comm);
```

使用 MPI_Allgatherv 将每个进程的本地结果 local_C 收集到所有进程的全局数组 C 中。然后继续通过 recv_counts 指定每个进程贡献的数据量，displs 指定每个进程的数据在目标数组 C 中的起始位置。

上述操作的原理在于 MPI_Allgatherv 是一种集合通信操作，允许每个进程发送不同大小的数据块，并将所有数据收集到每个进程的接收缓冲区 (C)。recv_counts[i] 表示进程 i 发送的数据量，displs[i] 表示进程 i 的数据在目标数组 C 中的偏移量。与 MPI_Gather 不同，MPI_Allgatherv 确保所有进程都收到完整的 C 数组，而不仅仅是根进程。

全局结果需求：逆 NTT 需要完整的点值乘法结果 (C 数组)，因此所有进程都需要收集完整的 C。灵活性：由于最后一个进程可能处理的数据量较少 (lim 不一定能被 size 整除)，MPI_Allgatherv 支持变长数据收集，适合这种场景。同步性：MPI_Allgatherv 是一个同步操作，确保所有进程在继续执行逆 NTT 之前都拥有相同的 C 数据。

主进程输出结果 在 poly_multiply 函数中：

```
1 if (rank == 0) {
2     for (int i = 0; i < 2 * n - 1; ++i) {
3         ab[i] = C[i] % p;
4     }
5 }
```

这里只有主进程 (rank == 0) 负责将最终结果 C 复制到输出数组 ab 中。MPI 程序通常由主进程负责最终结果的输出或进一步处理。这里使用条件语句 if (rank == 0) 限制只有主进程执行输出操作，避免多个进程同时写入输出数组。这样做能够

- 避免冲突：如果所有进程都试图写入 ab ，可能导致数据竞争或重复写入。
- 简化输出：通常只需要一个进程（主进程）将结果返回给调用者或输出到文件/终端。
- 符合 MPI 模式：主进程通常负责协调和最终结果的收集，这是一种常见的 MPI 编程模式。

2.3 算法简介

下面是我们的算法，具体代码可以在我的 GitHub 上面找到：

Algorithm 1 MPI 并行多项式乘法

Input: 多项式 $a[0 \dots n-1]$ 、 $b[0 \dots n-1]$ ，结果数组 $ab[0 \dots 2n-2]$ ，长度 n ，模数 p

Output: 卷积结果 $ab \equiv a * b \pmod{p}$

```

1: function POLYMULTIPLY( $a, b, ab, n, p, comm$ )
2:   获取进程秩  $rank$  和进程总数  $size$                                 ▷  $MPI\_Comm\_rank, MPI\_Comm\_size$ 
3:    $\ell \leftarrow 2^{\lceil \log_2(2n-1) \rceil}$                                 ▷ 扩展到 2 的幂
4:   初始化数组  $A[\ell], B[\ell], C[\ell] \leftarrow 0$ 
5:   if  $rank = 0$  then
6:     将  $a[0 \dots n-1]$ 、 $b[0 \dots n-1]$  复制到  $A$ 、 $B$ ，模  $p$ 
7:   end if
8:   广播  $A$  和  $B$  到所有进程                                ▷  $MPI\_Bcast$ 
9:    $root \leftarrow GETPRIMITIVEROOT(p)$                                 ▷ 获取原根
10:   $NTT\_MPI(A, false, root, p, comm)$                                 ▷ 前向 NTT
11:   $NTT\_MPI(B, false, root, p, comm)$ 
12:   $chunk \leftarrow \lceil \ell/size \rceil$ ,  $start \leftarrow rank \times chunk$ ,  $end \leftarrow \min(start + chunk, \ell)$ 
13:   $local\_C[chunk] \leftarrow 0$ 
14:  for  $i = start$  to  $end - 1$  do
15:     $local\_C[i - start] \leftarrow (A[i] \times B[i]) \bmod p$                                 ▷ 点值乘法
16:  end for
17:  收集  $local\_C$  到  $C$                                 ▷  $MPI\_Allgatherv$ 
18:   $NTT\_MPI(C, true, root, p, comm)$                                 ▷ 逆 NTT
19:  if  $rank = 0$  then
20:    将  $C[0 \dots 2n-2]$  复制到  $ab$ ，模  $p$ 
21:  end if
22: end function
23: function NTT_MPI( $a, invert, root, mod, comm$ )
24:   获取进程秩  $rank$  和进程总数  $size$ 
25:   广播  $a$  到所有进程                                ▷  $MPI\_Bcast$ 
26:    $NTT(a, invert, root, mod)$                                 ▷ 串行 NTT
27: end function

```

3 实验设计：与多线程以及 SIMD 的结合

对于这一部分的设计，我们可以在朴素算法中加入线程控制，也可以在实现了 NTT 的朴素算法下添加。这里为了持续优化，我们在实现了 NTT 的朴素算法下面添加。由于时间关系这里只进行理

论分析和部分代码结构和程序分析，具体实验等内容放到期末大报告之中。

3.1 与 OpenMP 的结合

在我们实现的 `ntt_mpiomp.h` 文件中，快速数论变换 (NTT) 通过 OpenMP 实现高效并行化。位反转置换通过 `bit_reverse` 函数串行执行，确保输入数组 `a` 按正确顺序排列，为后续蝶形运算做准备。蝶形运算在 `ntt` 函数中使用 `#pragma omp parallel` 和 `#pragma omp for schedule(static)` 并行化外层循环，每个线程处理不同的数据块，执行加权和与差计算，并通过模运算确保结果正确，静态调度确保任务均匀分配。逆 NTT 时的归一化操作通过 `#pragma omp for schedule(static)` 并行化，将数组元素乘以模逆 `inv_n`，线程独立处理以避免数据竞争。

在 `poly_multiply` 函数中，MPI 与 OpenMP 结合实现分布式并行计算，根进程初始化并广播输入数组 `A` 和 `B`，各进程调用 `ntt` 执行变换，点值乘法通过分块分配给进程并结合 OpenMP 并行化。然而，过多线程可能导致内存访问冲突，频繁的 `#pragma omp barrier` 同步可能增加开销，需通过优化线程数或减少同步点提升性能。

3.2 与 Pthread 的结合

快速数论变换 (NTT) 通过结合 Pthread 实现高效并行化。核心步骤包括位反转置换、蝶形运算和归一化处理。和上面一样，位反转置换通过 `bit_reverse` 函数利用 Pthread 将输入数组 `a` 分块分配给多个线程，每个线程独立处理索引范围，通过 `pthread_create` 和 `pthread_join` 管理线程以避免数据竞争。蝶形运算在 `ntt` 函数中通过 `ntt_butterfly_thread` 并行执行，线程处理不同数据块的加权和与差计算，使用 `safe_mod` 确保模运算安全。逆 NTT 时的归一化操作则通过 `ntt_normalize_thread` 并行化，将数组元素乘以模逆 `inv_n`，任务按元素分块以避免冲突。

在 `poly_multiply` 函数中，MPI 与 Pthread 结合实现分布式并行计算，根进程初始化并广播输入数组 `A` 和 `B`，各进程调用 `ntt` 执行变换，点值乘法通过 Pthread 并行化处理。然而，Pthread 的线程创建和同步开销在小规模数据上可能较为显著，且多线程访问共享数组可能导致缓存失效，需优化线程数和数据局部性以提升性能。

3.3 与 SIMD 的结合

在我们实现的 `ntt_mpsimd.h` 文件中，快速数论变换 (NTT) 通过 ARM NEON SIMD 和 MPI 实现高效并行化。核心步骤包括位反转置换、蝶形运算和归一化处理。位反转置换通过串行方式在 `ntt_simd` 函数中完成，确保输入数组 `a` 按正确顺序排列，为后续运算准备数据。蝶形运算利用 `butterfly_layer_simd` 函数，通过 NEON 指令并行处理四组数据的加权和与差计算，借助 `mod_reduce_neon` 优化模运算，显著提升计算效率。归一化阶段在逆 NTT 时通过 SIMD 向量化处理，将数组元素乘以模逆 `inv_n`，并对剩余元素进行标量处理以确保正确性。在 `poly_multiply` 函数中，MPI 广播输入数组 `A` 和 `B`，各进程执行 NTT 变换，点值乘法通过 SIMD 并行化并分块分配，根进程完成逆 NTT 并输出结果。

然而，SIMD 实现的性能可能因多种因素而变慢。NEON 指令的向量化要求数据对齐和连续内存访问，若输入规模较小或数据未正确对齐，会导致缓存未命中率升高，降低效率。此外，`butterfly_layer_simd` 中频繁的内存分配和释放（如 `twiddles` 数组）增加开销，尤其在高频调用时。MPI 通信（如 `MPI_Bcast` 和 `MPI_Allgather`）在大数据量下可能引入延迟，尤其是当进程数较多时，通信开销显著。相比 OpenMP 的并行循环，SIMD 的复杂指令序列和内存管理可能导致性能瓶颈，特别是在测试中遇到部分数据无法运行的情况，可能是由于模数或数组大小的边界检查不足，需优化内存管理和通信策略以提升稳定性与速度。

4 实验设计：MPI 并行化不同算法策略

4.1 巴雷特规约优化

我们在之前的实验中其实初步尝试了巴雷特规约这种方法，接下来我们继续在这一部分进行解释：

巴雷特规约 (Barrett Reduction) 是一种高效的模运算优化算法，用于计算 $x \bmod p$ ，特别适用于模数 p 固定且需要多次模运算的场景（如快速数论变换 NTT）。通过预计算和位运算，它将昂贵的除法操作替换为乘法和减法，从而提升性能。

原理 巴雷特规约的目标是高效计算 $x \bmod p$ ，其中 x 是非负整数（通常 $x < p^2$ ）， p 是模数。传统模运算需要计算：

$$x \bmod p = x - \left\lfloor \frac{x}{p} \right\rfloor \cdot p$$

其中，商 $q = \lfloor x/p \rfloor$ 的计算涉及昂贵的除法操作。巴雷特规约通过预计算倒数近似值，将除法转换为乘法和位运算。

设 k 为满足 $2^k > p$ 的整数，通常取 $k \approx 2 \cdot \lceil \log_2 p \rceil$ 。预计算常数：

$$m = \left\lfloor \frac{2^k}{p} \right\rfloor$$

商 q 可近似为：

$$q \approx \left\lfloor \frac{x \cdot m}{2^k} \right\rfloor$$

在计算机中，这可以通过位运算实现：

$$q = (x \cdot m) \gg k$$

最终模结果为：

$$r = x - q \cdot p$$

由于 q 是近似值， r 可能比实际模大 p 或 $2p$ ，因此需检查 $r \geq p$ 并进行 1-2 次减法以确保 $0 \leq r < p$ 。

步骤

1. **预计算**：选择 k ，计算 $m = \lfloor 2^k/p \rfloor$ 。
2. **计算商**：对于输入 x ，计算 $q = (x \cdot m) \gg k$ 。
3. **计算模**：计算 $r = x - q \cdot p$ ，若 $r \geq p$ ，重复减去 p 。
4. **返回结果**：返回 r 作为 $x \bmod p$ 。

优化效果 巴雷特规约将除法替换为一次乘法、一次位移和少量减法。在现代处理器上，乘法和位移的开销远低于除法（除法约几十周期，乘法约 1-3 周期）。对于 NTT 等模运算密集的算法，性能可提升 5-10 倍。预计算 m 仅需一次，适合固定模数的场景。

注意事项

- **选择 k** ：通常 $k = 2 \cdot \lceil \log_2 p \rceil$ ，确保 $x < p^2$ 。

- **溢出**：乘法 $x \cdot m$ 可能溢出，需使用 128 位整数（如 C++ 的 `--int128`）。
- **适用范围**：最适合 $x < p^2$ ，如 NTT 中的点值乘法。

伪代码 以下是巴雷特规约的伪代码：

Algorithm 2 巴雷特规约

Input: 整数 x ，模数 p ，预计算 $m = \lfloor 2^k/p \rfloor$ ， $k \approx 2 \cdot \lceil \log_2 p \rceil$

Output: $r = x \bmod p$

```

1: function BARRETTREDUCTION( $x, p, m, k$ )
2:    $q \leftarrow (x \cdot m) \gg k$                                 ▷ 位运算近似商
3:    $r \leftarrow x - q \cdot p$ 
4:   while  $r \geq p$  do
5:      $r \leftarrow r - p$ 
6:   end while
7:   return  $r$ 
8: end function
  
```

具体到我们的程序而言是这样的：

Algorithm 3 巴雷特规约算法

Input: 输入值 x ，模数 p (p 为正整数，通常为 NTT 模数，如 7340033 或 998244353)

Output: 规约结果 $r \equiv x \pmod{p}$ ，且 $0 \leq r < p$

```

1: function BARRETTREDUCTION( $x, p$ )
2:   预计算:  $k \leftarrow \lfloor \log_2 p \rfloor + 1$                     ▷ 计算模数的位长度
3:   预计算:  $m \leftarrow \lfloor 2^{2k}/p \rfloor$                     ▷ 预计算巴雷特常数
4:    $q \leftarrow \lfloor (x \cdot m)/2^{2k} \rfloor$                     ▷ 估算商
5:    $r \leftarrow x - q \cdot p$                                 ▷ 计算余数
6:   while  $r \geq p$  do                                       ▷ 确保结果在  $[0, p)$  范围内
7:      $r \leftarrow r - p$ 
8:   end while
9:   while  $r < 0$  do                                         ▷ 处理负数情况
10:     $r \leftarrow r + p$ 
11:   end while
12:   return  $r$ 
13: end function
  
```

4.2 常规的四分优化

这里我们仿照上次的 Pthread 优化操作操作就可以了，把 pthread 里实现的 dif/dit 和 crt 合并并在多进程里再实现一次即可，当然可以尝试将 crt 合并的模数分组计算，同一进程内使用多个线程进行计算，最后多个进程再统一合并。需要注意的是，如果实现了四分 NTT，需要对于奇数进行额外一次的变换才能继续四分。（此处代码视时间情况而定，报告相关内容后续会放到大报告当中）

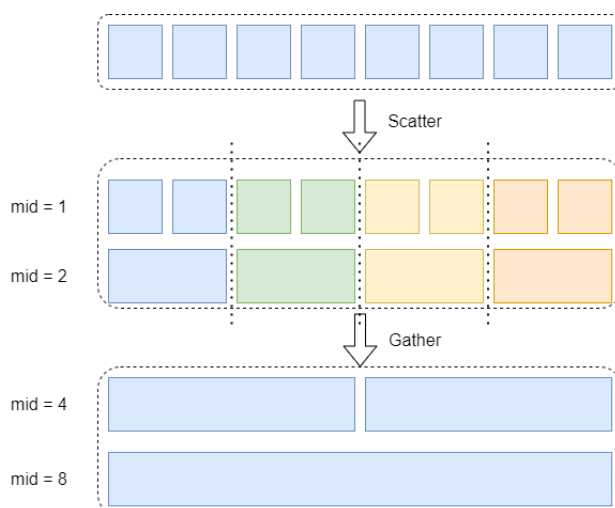


图 4.1: 多分的一个示例, 来自实验指导手册

5 实验设计：MPI 不同的编程方法

由于 MPI 特性的加持, 所以我们除了对算法的优化以外, 我们继续讨论一下多种 MPI 上的编程方法对于这次实验的影响。

5.1 阻塞通信 VS 非阻塞通信

不难发现, 我们刚才的实验中使用了阻塞通信, 这在某种程度上会影响我们程序的性能。

阻塞通信是消息传递接口 (MPI) 编程模型中的核心通信方式, 深刻影响进程间数据交互的逻辑与系统资源利用效率。在阻塞通信中, 进程调用通信函数后会暂停执行, 进入阻塞状态, 直到通信操作完成才能继续运行。这种机制确保数据传输的可靠性, 但可能导致资源利用效率降低。

对于非阻塞通信, 不必等到通信操作完全完成便可以返回, 该通信操作可以交给特定的通信硬件去完成, 在该通信硬件完成该通信操作的同时, 处理机可以同时进行计算操作, 这样便实现了计算与通信的重叠。

阻塞通信的机制 阻塞通信包括以下两种核心操作:

- **阻塞式发送:** 进程调用发送函数 (如 `MPI_Send`) 后, 系统开始传输数据。进程会暂停, 等待数据完全送入缓冲区并可被接收方访问。系统需完成数据打包、网络传输准备和缓冲区写入等步骤, 确认消息可靠发送后, 函数返回, 进程继续执行。
- **阻塞式接收:** 进程调用接收函数 (如 `MPI_Recv`) 后进入等待状态, 监听目标消息的到来, 无法执行其他计算或通信任务。只有当完整消息抵达接收缓冲区并通过校验, 函数才会返回。例如, 在并行矩阵乘法中, 进程可能需等待其他进程的中间结果以完成最终计算。

特点与影响 阻塞通信保证数据顺序与可靠性, 适合矩阵分解等严格依赖场景。但等待期间处理器闲置, 资源利用率下降, 尤其在高性能集群中可能延长执行时间。与非阻塞通信 (如 `MPI_Isend/MPI_Irecv`) 相比, 阻塞通信无法重叠计算与通信, 逻辑简单但效率较低, 适合初学者或同步要求高的场景。其原理也是类似于计算机组成原理中的五级流水线操作。

5.2 单边通信 VS 多边通信

单边通信 (One-Sided Communication) 单边通信指单个进程主动发起对远程进程内存的访问操作，无需目标进程配合执行接收操作的通信模式，又称远程内存访问 (RMA, Remote Memory Access)。

核心特点如下：

- **主动访问机制：**发起进程可直接读写目标进程的内存，无需目标进程显式调用接收函数。
- **典型操作：**
 - **Put：**将数据从本地内存复制到远程进程内存。
 - **Get：**从远程进程内存读取数据到本地。
 - **Accumulate：**对远程数据执行原子操作（如加法、最大值更新等）。
- **同步需求：**通过同步原语（如 `MPI_Fence`、`MPI_Lock`、`MPI_Unlock`）确保数据一致性，避免访问冲突。
- **应用场景：**适用于稀疏矩阵运算、非结构化网格通信、异步数据交换等场景，减少进程间同步等待。

示例场景：在并行计算中，某进程需频繁读取多个远程进程的局部数据，无需等待对方响应时，可使用单边通信提升效率。

但是在实际过程中，MPI 单边通信中的内存重叠问题导致的。具体来说当使用 `MPI_Put` 将数据放入自己的进程窗口时，源地址和目标地址相同，这会导致 MPI 内部 `memcpy` 操作失败。这可能与 MPI 单边通信中的内存管理或同步问题有关。代码中 `MPI_Win_create` 和 `MPI_Put/MPI_Get` 操作可能导致窗口缓冲区与本地缓冲区重叠，尤其是在处理大数组（`padded_lim 262144`）时。MPI 实现的内部缓冲区管理或同步机制也可能是问题来源。通过使用独立缓冲区、优化同步、限制数组大小和调试内存地址，可以有效定位和解决问题。

多边通信 (Multi-Sided Communication) 多边通信指多个进程同时参与的数据交互模式，包括集体通信 (Collective Communication) 和多方点对点通信。**核心类型与特点如下：**

1. 集体通信

- **定义：**所有参与进程共同执行的协同操作，需统一调用相同 API。
- **常见操作：**
 - **Broadcast：**根进程向所有进程发送相同数据。
 - **Reduce：**将各进程数据聚合（如求和、最大值）到根进程。
 - **Scatter：**根进程将数据分发给所有进程。
 - **Gather：**各进程数据汇总到根进程。
- **特点：**需所有进程同步参与，通信逻辑统一，适合数据并行场景。

2. 多方点对点通信

- **定义：**多个进程通过多次点对点通信（如 `Send/Recv`）实现数据交互。
- **特点：**灵活性高，但需手动管理通信顺序，避免死锁。

应用场景：集体通信适用于数据初始化（如广播）、结果汇总（如归约）；多方点对点通信适用于多节点任务调度、动态负载均衡等场景。

表 2: 单边通信与多边通信（集体通信）对比

维度	单边通信	多边通信（集体通信）
通信发起方	单个进程主动访问远程内存	所有进程协同参与，需同步调用 API
目标进程配合	无需目标进程显式接收	所有进程必须执行相同操作
同步机制	依赖 RMA 同步原语（如 Fence/Lock）	依赖集体操作的隐式同步
典型操作	Put/Get/Accumulate	Broadcast/Reduce/Scatter/Gather
适用场景	稀疏通信、异步数据访问	数据并行计算、全局数据聚合

单边通信与多边通信的对比 单边通信通过 RMA 机制实现单进程对远程内存的主动访问，适合减少同步开销的场景；多边通信（尤其是集体通信）强调多方协同，适合全局数据交互。两者可根据任务的通信模式结合使用，以优化性能和编程效率。

5.3 MPI 自身的多线程支持

MPI（Message Passing Interface）的多线程支持允许程序在单个进程内结合多线程并行与跨进程通信，适用于异构计算环境（如多核 CPU+GPU）或需要细粒度任务调度的场景。

MPI 标准定义了 4 种线程支持级别：

- MPI_THREAD_SINGLE：仅单线程可调用 MPI，其他线程调用会导致未定义行为。
- MPI_THREAD_FUNNELED：仅主线程可调用 MPI，其他线程只能执行非 MPI 操作。
- MPI_THREAD_SERIALIZED：多线程可调用 MPI，但同一时刻仅单一线程能执行 MPI 函数（需用户自行保证序列化）。
- MPI_THREAD_MULTIPLE：完全支持多线程并行调用 MPI 函数（需 MPI 实现底层线程安全）。

结合多线程（共享内存）与 MPI（分布式内存），减少进程创建开销，优化数据局部性（如线程内缓存复用）。但是实际应用中，我们需处理线程安全（如 MPI 函数重入性）、负载均衡（避免线程饥饿）及不同 MPI 实现的兼容性（如 Open MPI、MPICH 对多线程的支持差异）。

在后面的实验中，我们会继续使用相应的接口，所以这一部分暂时不会列出具体的代码，因为我们在前面的实验中已经充分利用了这一点。

6 程序性能分析

这次实验，我们采用下面的编译方式：

```
1 mpic++ main.cc -o main -O2 -fopenmp -lpthread -std=c++11
2 qsub qsub_mpi.sh
```

这是助教在课上提到的编译方式，我们先编译再提交，提交脚本里面可以指定-np 的数量，决定 MPI 线程数。

```
1 /usr/local/bin/mpirun -np 8 -machinefile $PBS_NODEFILE /home/${USER}/main
```

配置	n	p	延迟 (us)	加速比
NTT 实现	4	7340033	0.00425	1.000
	131072	7340033	83.9529	1.000
	131072	104857601	88.6243	1.000
	131072	469762049	91.4264	1.000
MPI (8 线程)	4	7340033	0.1612	0.0264
	131072	7340033	110.8640	0.7572
	131072	104857601	99.2098	0.8460
	131072	469762049	97.7614	0.8588
MPI (OpenMP, 8 线程)	4	7340033	84.2481	0.0001
	131072	7340033	268.8230	0.3123
	131072	104857601	251.9930	0.3331
	131072	469762049	251.6210	0.3336
MPI (pthread, 8 线程, 8 pthread 线程)	4	7340033	7.6301	0.0006
	131072	7340033	209.5740	0.4005
	131072	104857601	226.8320	0.3701
	131072	469762049	230.1110	0.3648

表 3: 8 线程配置及 NTT 实现的多项式乘法平均延迟与加速比

6.1 不同并行化方式的对比

由于随机性和相差不大的原因, 这里不考虑小规模数据 ($n=4$), 如表3所示, 进行优化之后的算法当规模增大的时候,

- **MPI (8 线程):**

- 在小规模输入 ($n = 4, p = 7340033$) 下, 平均延迟为 $0.1612\text{ }\mu\text{s}$, 性能较基准下降, 但仍远高于大规模输入的延迟。
- 在大规模输入 ($n = 131072$) 下, 平均延迟在 $97.7614\text{ }\mu\text{s}$ 至 $110.8640\text{ }\mu\text{s}$ 之间, 低于基准 (加速比 $0.7572\text{--}0.8588$), 表明 MPI 在大规模计算中性能略逊于 NTT 实现, 模数增大对延迟影响较小。

- **MPI (OpenMP, 8 线程):**

- 在小规模输入 ($n = 4, p = 7340033$) 下, 平均延迟为 $84.2481\text{ }\mu\text{s}$, 性能显著低于基准, 可能是 OpenMP 引入的线程开销。
- 在大规模输入 ($n = 131072$) 下, 平均延迟在 $251.6210\text{ }\mu\text{s}$ 至 $268.8230\text{ }\mu\text{s}$ 之间, 远高于基准 (加速比 $0.3123\text{--}0.3336$), 表明 OpenMP 在大规模计算中性能较差, 模数变化对延迟影响有限。

- **MPI (pthread, 8 线程, 8 pthread 线程):**

- 在小规模输入 ($n = 4, p = 7340033$) 下, 平均延迟为 $7.6301\text{ }\mu\text{s}$, 性能较基准大幅下降, 可能由于 pthread 线程管理开销。
- 在大规模输入 ($n = 131072$) 下, 平均延迟在 $209.5740\text{ }\mu\text{s}$ 至 $230.1110\text{ }\mu\text{s}$ 之间, 远高于基准 (加速比 $0.3648\text{--}0.4005$), 表明 pthread 配置在大规模计算中性能较差, 模数增大导致延迟略增。

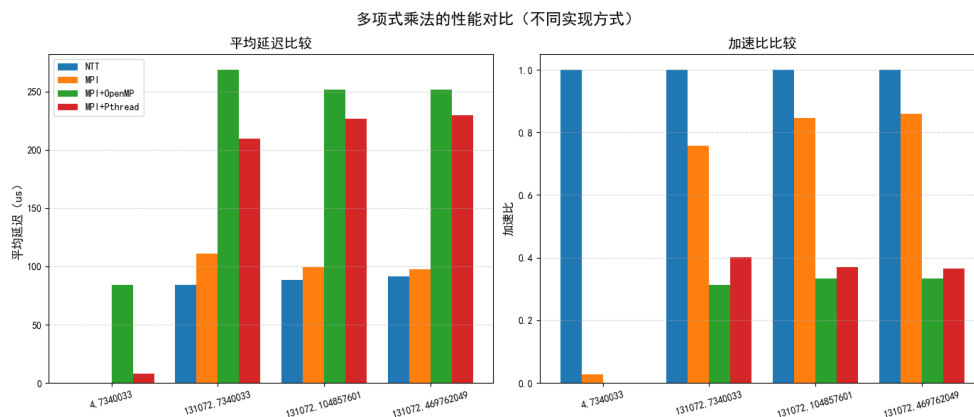


图 6.2: 延迟时间和加速比对比

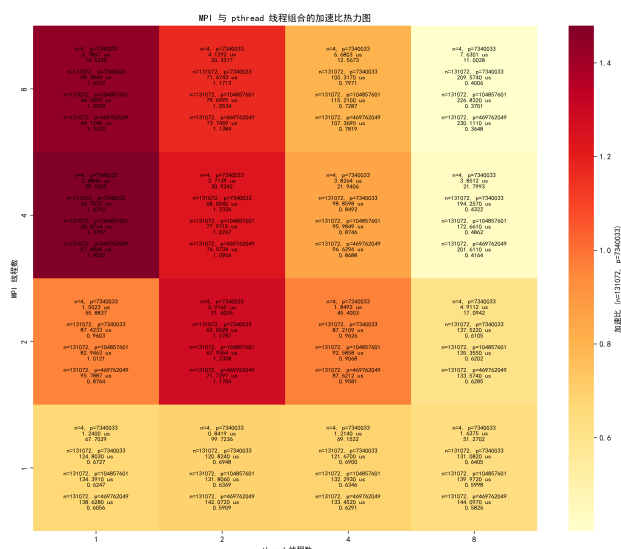


图 6.3: 加速比可视化, 基于 MPI 与 Pthread 的结合

6.2 对线程数的讨论

通过上面的数据可以看到, 开了 8 线程之后, 加速效果反而不是那么明显了, 接下来我们要开始讨论线程数对实验的影响:

这张图对应的表格放在附录的表7。可以看到图6.3, mpi 的线程数和 pthread 的线程数并不都是越高越能加速实验运行时间, 而是要达到一个“平衡”。在 pthread 线程数设置为 1 的时候, **mpi 的线程数越大, 越有助于加速计算**。证明二者是相辅相成的。

MPI 线程数过大可能会导致资源过度消耗、内存不足、线程切换和通信开销增加等问题, 进而引发性能下降、负载不均衡、调试难度加大以及死锁风险, 最终影响程序的可扩展性和整体效率。显然发现: 我们的测试样例出现了大规模数据, 使用多线程可能并不能很好地带动计算, 所以推荐使用线程池或者 OpenMP 进行操作, 下面便引出了我们的测试信息——也就是后面对 OpenMP 的讨论。

6.3 不同规约优化方法下的对比

这里来说 OpenMP 的优化方式较少, 所以我们就采用一种方式 (对朴素 NTT 进行 OpenMP 的指令插入), 然后与前面的 Pthread 编程 (只选择了 Pthread 优化的程序) 进行结合进行对比分析。

配置	n	p	延迟 (us)	加速比
NTT 实现	4	7340033	0.00425	1.000
	131072	7340033	83.9529	1.000
	131072	104857601	88.6243	1.000
	131072	469762049	91.4264	1.000
MPI (巴雷特, 8 线程)	4	7340033	0.1168	0.0364
	131072	7340033	95.4719	0.8794
	131072	104857601	97.2662	0.8630
	131072	469762049	100.0120	0.8395
MPI (提升版, 8 线程)	4	7340033	0.0639	0.0665
	131072	7340033	82.0365	1.0234
	131072	104857601	78.7015	1.0667
	131072	469762049	77.8449	1.0784

表 4: 8 线程配置及 NTT 实现的多项式乘法平均延迟与加速比

我们能够看到表4所示的数据：

• **MPI (巴雷特, 8 线程):**

- 在小规模输入 ($n = 4, p = 7340033$) 下，平均延迟为 0.1168 μ s，性能优于标准 MPI，但仍低于 NTT 基准。
- 在大规模输入 ($n = 131072$) 下，平均延迟在 95.4719 μ s 至 100.0120 μ s 之间，接近基准（加速比 0.8395–0.8794），显示巴雷特优化在高模数下略有提升，但整体性能与 NTT 相近。

• **MPI (提升版, 8 线程):**

- 在小规模输入 ($n = 4, p = 7340033$) 下，平均延迟为 0.0639 μ s，性能优于其他 MPI 配置，但仍低于 NTT 基准。
- 在大规模输入 ($n = 131072$) 下，平均延迟在 77.8449 μ s 至 82.0365 μ s 之间，**优于基准（加速比 1.0234–1.0784）**，尤其在高模数 ($p = 469762049$) 下表现最佳（加速比 1.0784），显示提升版优化在大规模计算中效果显著。

6.4 对 OpenMP 的讨论

由于 OpenMP 的接触表现，接下来我们将它与 MPI 结合，看看有什么精彩的表现：

如图6.4所示，不难发现在 OpenMP 的作用下 MPI 线程数越小，程序加速越明显：二者结合发挥的威力更大。

• **MPI 结合 OpenMP (8 线程):**

- 延迟 251.621 μ s–268.823 μ s，加速比 0.3123–0.3336，性能远低于基准， $p=469762049$ 略优 (0.3336)。

• **MPI 结合 OpenMP (4 线程):**

- 延迟 141.426 μ s–142.573 μ s，加速比 0.5889–0.5936，优于 8 线程但低于基准， $p=469762049$ 稍优 (0.5936)。

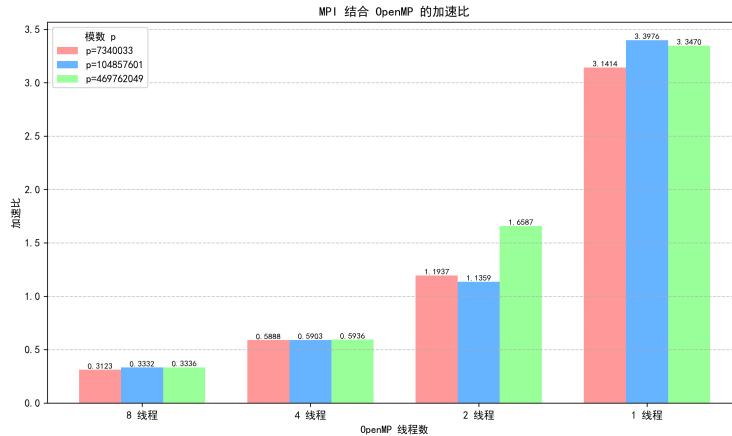


图 6.4: 加速比可视化

• MPI 结合 OpenMP (2 线程):

- 延迟 50.6141 μ s–73.9069 μ s, 加速比 1.1358–1.6587, 优于基准, p=469762049 最佳 (1.6587)。

• MPI 结合 OpenMP (1 线程):

- 延迟 24.7095 μ s–26.7246 μ s, 加速比 3.1413–3.3980, 远超基准, p=104857601 最佳 (3.3980)。

究其原因还是因为 MPI 之间开了较大的线程数会导致之间的通信出现延迟甚至阻塞, 进而引发计算效率的问题。有的时候甚至会导致计算错误的问题。

一些可能的解决方法: 测试 MPI 线程安全级别(使用 `MPI_Init_thread`)优先选择 `MPI_THREAD_FUNNELED` 或 `MPI_THREAD_SERIALIZED`, 避免随意使用 `MPI_THREAD_MULTIPLE`。还可以设置线程数接近物理核心数(如每个节点 1 个 MPI 进程 + 每个进程 16 线程), 并通过基准测试(如弱缩放测试)调优。使用工具(如 `mpiP`、`Vampir`)监控通信开销和线程行为。总而言之, 为了避免问题, 应当限制每个进程的线程数, **确保通信操作由少数线程管理; 采用异步通信减少阻塞。**

7 Profiling

这次实验, 我们继续采用 `Perf` 进行事件采样, 获得相应数据进行分析。

Perf 的测试

```
1 perf record -e cpu-clock,cycles,instructions,cache-references,cache-misses,
2 L1-dcache-loads,L1-dcache-load-misses,LLC-loads,LLC-load-misses ./main
3
4 perf report > 文件名.txt
```

我们使用如上的指令进行性能分析, `stat` 的方式可以直接查看相应的数据, `record` 可以获得更为详细的数据记录。使用获取的数据从上述维度探究程序性能的影响(这里不提供普通算法, 只考虑并行化操作之间的优势)。

7.1 数据的总览

需要注意的是这里的各个优化都是基于 MPI 完成的, 而不是单独使用了某一种方法。

指标	mpi 普通	pthread	巴雷特规约	mpi 提升	OpenMP
CPU 时钟周期 ($\times 10^9$)	15.266	5.489	22.201	5.661	19.163
指令数量 ($\times 10^9$)	2.299	2.128	2.380	2.417	5.406
每周期指令数	1.446	1.998	1.419	1.498	2.258
每指令缓存引用	0.295	0.287	0.297	0.295	0.218
缓存未命中率 (%)	0.809	0.504	0.858	0.951	0.327
L1 数据缓存未命中率 (%)	0.809	0.503	0.859	0.950	0.328
最后级缓存未命中率 (%)	18.673	16.315	14.378	16.757	23.241

表 5: 优化方法间的硬件性能对比分析 (NTT 朴素只作为 baseline, 不参与比较)

指标	2_1	2_2	2_4	2_8
CPU 时钟周期 ($\times 10^9$)	2.100	5.448	11.438	78.915
指令数量 ($\times 10^9$)	1.603	3.844	8.480	15.431
每周期指令数	2.573	1.765	1.573	1.124
每指令缓存引用	0.338	0.397	0.424	0.420
缓存未命中率 (%)	0.135	0.124	0.096	0.239
L1 数据缓存未命中率 (%)	0.136	0.122	0.096	0.235
最后级缓存未命中率 (%)	46.426	25.582	44.983	40.274

表 6: 不同线程配置下的硬件性能对比分析, 第一个数字是 num_thread 的数值, 第二个数字是 mpi 的线程数

7.2 进一步的解释

第一张表 分析如下:

由表5可以知道, 对于需要高效利用 CPU 和缓存资源的场景, **OpenMP 和 MPI 结合优化是最佳选择**。其在每周期指令数 (2.258)、缓存未命中率 (0.327%) 和 L1 数据缓存未命中率 (0.328%) 上表现优异, 展现了良好的指令级并行性和缓存利用效率。然而, OpenMP 的 CPU 时钟周期 (19.163×10^9) 和最后级缓存未命中率 (23.241%) 较高, 可能是线程同步开销或内存访问模式未完全优化导致。

pthread 优化在 CPU 时钟周期 (5.489×10^9) 上表现最佳, 接近 mpi 提升优化, 但在缓存未命中率 (0.504%) 和最后级缓存未命中率 (16.315%) 上表现一般。可以通过优化 ntt_layer_thread 函数, 减少线程同步开销, 并改进内存访问模式以进一步降低缓存未命中率。

巴雷特规约优化和 **mpi 提升优化**在性能上较为接近, 但 CPU 时钟周期 (巴雷特规约: 22.201×10^9 , mpi 提升: 5.661×10^9) 和指令数量 (巴雷特规约: 2.380×10^9 , mpi 提升: 2.417×10^9) 较高, 表明存在优化空间。可以通过优化 poly_multiply_single_mod 和 __modti3 函数, 减少指令执行数量, 并改进数据局部性以提升缓存命中率。

所有优化方法均可通过改进内存访问模式进一步降低缓存未命中率, 特别是 **pthread 优化**和 **OpenMP 优化**, 其最后级缓存未命中率 (分别为 16.315% 和 23.241%) 相对较高。未来可重点优化内存分配和数据预取策略, 以提升整体性能。

第二张表 基于前面 MPI+Pthread 谈谈 Pthread 线程数一定, MPI 线程数对硬件性能的影响:

由表6可以知道, 对于需要高效利用 CPU 和缓存资源的场景, **2_1 配置 (num_thread=2, mpi=1)** 在 CPU 时钟周期 (2.100×10^9) 和指令数量 (1.603×10^9) 上表现最佳, 适合低开销场景。然而, 其最后级缓存未命中率 (46.426%) 较高, 表明内存访问模式有优化空间。相比之下, **2_4 配置 (num_thread=2, mpi=4)** 在缓存未命中率 (0.096%) 和 L1 数据缓存未命中率 (0.096%) 上表现最佳, 适合需要高效

缓存利用的场景。

2_2 配置在最后级缓存未命中率(25.582%)上表现最佳,但 CPU 时钟周期(5.448×10^9)和指令数量(3.844×10^9)较高,可能因线程同步或数据局部性问题导致性能瓶颈。可以通过优化 `ntt_layer_thread` 函数,减少线程间通信开销,并改进内存访问模式以进一步提升性能。

2_4 配置和 **2_8 配置**在指令数量(分别为 8.480×10^9 和 15.431×10^9)和 CPU 时钟周期(分别为 11.438×10^9 和 78.915×10^9)上较高,表明并行度增加导致了额外的计算和同步开销。可以通过优化 `poly_multiply_single_mod` 和 `__modti3` 函数,减少指令冗余,并改进数据分区以提升缓存命中率。

所有配置均可通过改进内存访问模式降低缓存未命中率,特别是 **2_1 配置**和 **2_8 配置**,其最后级缓存未命中率(分别为 46.426% 和 40.274%)较高。未来可重点优化数据预取和内存分配策略,以提升整体性能。

7.3 数据分析

第一张表 对不同规约化和并行化操作的总结:

1. **OpenMP 优化**在大多数性能指标上表现最佳,特别是在每周指令数(2.258)、缓存未命中率(0.327%)和 L1 数据缓存未命中率(0.328%)上,展现了高效的指令级并行性和优异的缓存利用率。然而,其 CPU 时钟周期(19.163×10^9)和最后级缓存未命中率(23.241%)较高,可能受限于线程同步开销或内存访问模式。
2. **pthread 优化**在 CPU 时钟周期(5.489×10^9)上表现突出,仅次于 mpi 提升优化,但缓存未命中率(0.504%)和最后级缓存未命中率(16.315%)偏高。其主要瓶颈可能在于 `ntt_layer_thread` 函数的线程管理开销和内存访问效率。
3. **巴雷特规约优化**和 **mpi 提升优化**在指令数量(分别为 2.380×10^9 和 2.417×10^9)和 CPU 时钟周期(分别为 22.201×10^9 和 5.661×10^9)上表现相近,均存在较大的优化空间。主要瓶颈可能在 `poly_multiply_single_mod` 和 `__modti3` 函数,需减少指令冗余并优化数据局部性。
4. 从指令执行效率和缓存利用率来看,四种优化方法的排名为: **OpenMP > pthread > mpi 提升 > 巴雷特规约**。

这里主要是因为 MPI 通信开销吞噬计算收益,有效计算效率低。根源在于进程间通信延迟: MPI 进程需通过网络交换数据(如 `MPI_Send/Recv`),而 pthread/OpenMP 仅需共享内存通信,延迟差可达 100 倍。同步阻塞:集体操作强制所有进程等待最慢者,而其高时钟周期反映负载不均衡导致的空闲等待。内存访问模式劣化问题源于数据分散性: MPI 进程独占内存空间,计算需显式数据分发(如 `MPI_Scatter`),破坏空间局部性。跨节点访问方面若进程跨 NUMA 节点,访问远端内存进一步增加延迟(对比 OpenMP 的 0.327% L1 未命中率)。

最后还有并行粒度与负载失衡现象: MPI 提升在指令数接近巴雷特规约时,周期却仅为后者的 1/4,说明并行化有效但开销大。源于粗粒度任务划分: MPI 通常以进程为单位分割大任务,若任务粒度不均(如 `poly_multiply_single_mod` 计算量波动),导致部分进程早完工等待(时钟周期虚高)。

总的来说有三: **通信延迟、内存隔离、负载失衡**。也印证了 OpenMP+MPI 的有效性。

第二张表 接下来我们继续分析不同 mpi 的线程的影响:

1. **2_1 配置**在 CPU 时钟周期(2.100×10^9)、指令数量(1.603×10^9)和每周指令数(2.573)上表现最佳,适合计算资源受限的场景。而其最后级缓存未命中率(46.426%)最高,可能受限于内存访问模式。

2. **2_2 配置**在最后级缓存未命中率 (25.582%) 上表现优异, 但 CPU 时钟周期和指令数量较高, 可能因线程同步开销或数据局部性不足导致, 需优化 `ntt_layer_thread` 函数。
3. **2_4 配置**在缓存未命中率 (0.096%) 和 L1 数据缓存未命中率 (0.096%) 上表现最佳, 适合需要高效缓存利用的场景, 但高 CPU 时钟周期 (11.438×10^9) 表明存在并行开销, 需优化 `poly_multiply_single_mod` 和 `__modti3` 函数。
4. **2_8 配置**在所有指标上表现较差, 尤其是 CPU 时钟周期 (78.915×10^9) 和指令数量 (15.431×10^9), 表明高并行度带来了显著的同步和计算开销, 需大幅优化内存访问和线程管理。
5. 从指令执行效率和缓存利用率来看, 四种配置的排名为: **2_1 > 2_2 > 2_4 > 2_8**。

总结来说, MPI 性能问题的本质是资源竞争与访问劣化的正反馈循环: **线程数增加** → **通信请求激增** → **网络/NIC/缓冲区竞争** → **线程阻塞等待** → **内存访问分散** → **缓存失效** → **更多通信需求** → **性能崩溃**。表6中 2_8 的劣化正是这一链条的终极体现, 而 2_1 的高效印证了粗粒度并行在 MPI 中的普适性。需通过**限制每进程线程数**、**解耦通信与计算**、**通信模式优化**、**内存访问重构优化**打破此循环。

8 实验总结

实验的代码在我的 GitHub 网站上: [我的 GitHub](#)

在使用 MPI 进行算法优化时, 我尝试了很多方法试着优化, 但是结果往往没有什么改进甚至是负优化。究其原因, 是因为再调用 MPI 线程的时候, 可能会存在一些阻塞甚至冲突的问题, 在这个过程中我逐渐注意这一点。当然过程中也遇到了一些我无法解决的问题, 例如使用单边通信或者非阻塞方式都不能一一解决, 由于时间关系我不得不放在最后的大报告中进行陈述。

这次实验在考试周袭击而来的 6 月, 我在实验过程中也是遇到了一些困难。但是我通过一系列的学习开始慢慢熟悉这套过程, 能够熟悉原理和细节上的要点, 最后能较为不错的完成实验, 对整个过程有了清晰且深刻的体会。这对于我以后的学习很有帮助。

附录 A 实验的表格

MPI 进程数	Pthread 线程数	$p = 7340033$	$p = 104857601$	$p = 469762049$
8	8	209.574	226.832	230.111
8	4	105.317	115.210	107.369
8	2	71.674	79.700	73.747
8	1	58.384	64.289	64.125
4	8	194.257	172.661	201.611
4	4	98.860	95.985	96.630
4	2	68.054	77.972	76.573
4	1	56.757	60.871	57.687
2	8	137.522	135.355	133.574
2	4	87.211	92.586	87.621
2	2	65.653	67.936	71.730
2	1	87.423	82.946	95.789
1	8	131.082	139.972	144.097
1	4	121.670	132.293	133.452
1	2	120.824	131.806	142.072
1	1	124.803	134.391	138.628

表 7: MPI 与 Pthread 结合的多项式乘法延迟 (n=131072, 单位: 微秒)